

Les faibles scores des prévisions climatiques à court terme dans le Pacifique Nord

Virginie Guémas

Avec la collaboration de :

Francisco Doblas-Reyes, Fabian Lienert, Hui Du, Yves Soufflet

Our focus : Seasonal to decadal prediction

 Francisco J Doblas-Reyes : The Head

 Hui Du : *Initial perturbations, sea ice*

 Javier García-Serrano : *AMO, African monsoon*

 Virginie Guémas : *Sea ice, North Pacific skill*

 Fabian Lienert : *regionalisation, PDO*

 Melanie Davis : *climate services*

 Danila Volpi : *initialisation techniques*

 Luis Ricardo Rodrigues : *ENSO, statistical models*

 Aida Pintó : *extremes*

 Muhammad Asif : *EC-Earth*

 Oriol Mula-Valls : *autosubmit developer*

 Jordi Peralta : *system administrator*

We share, on request :

- 1) Autosubmit
- 2) Our decadal hindcasts
- 3) Monthly sea ice restarts
- 4) R diagnostic functions

We run on :

- 1) Marenostrum (Spain)
- 2) ECMWF
- 3) HECTOR (Scotland)
- 4) Our local cluster

Les faibles scores des prévisions climatiques à court terme dans le Pacifique Nord

Virginie Guémas

Avec la collaboration de :

Francisco Doblas-Reyes, Fabian Lienert, Hui Du, Yves Soufflet

L'exercice de prévision climatique

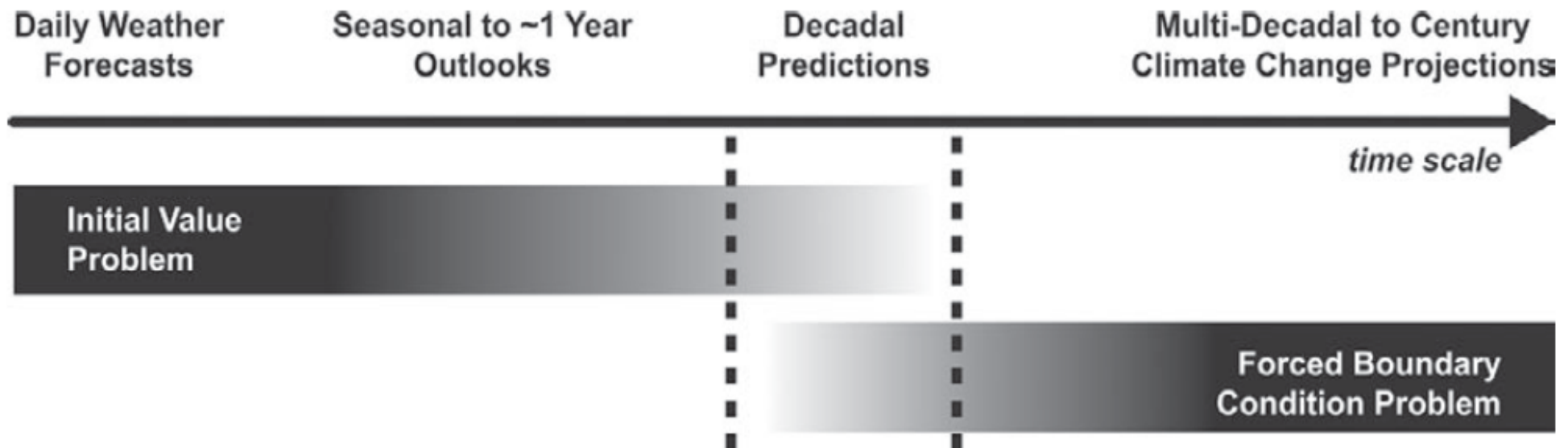
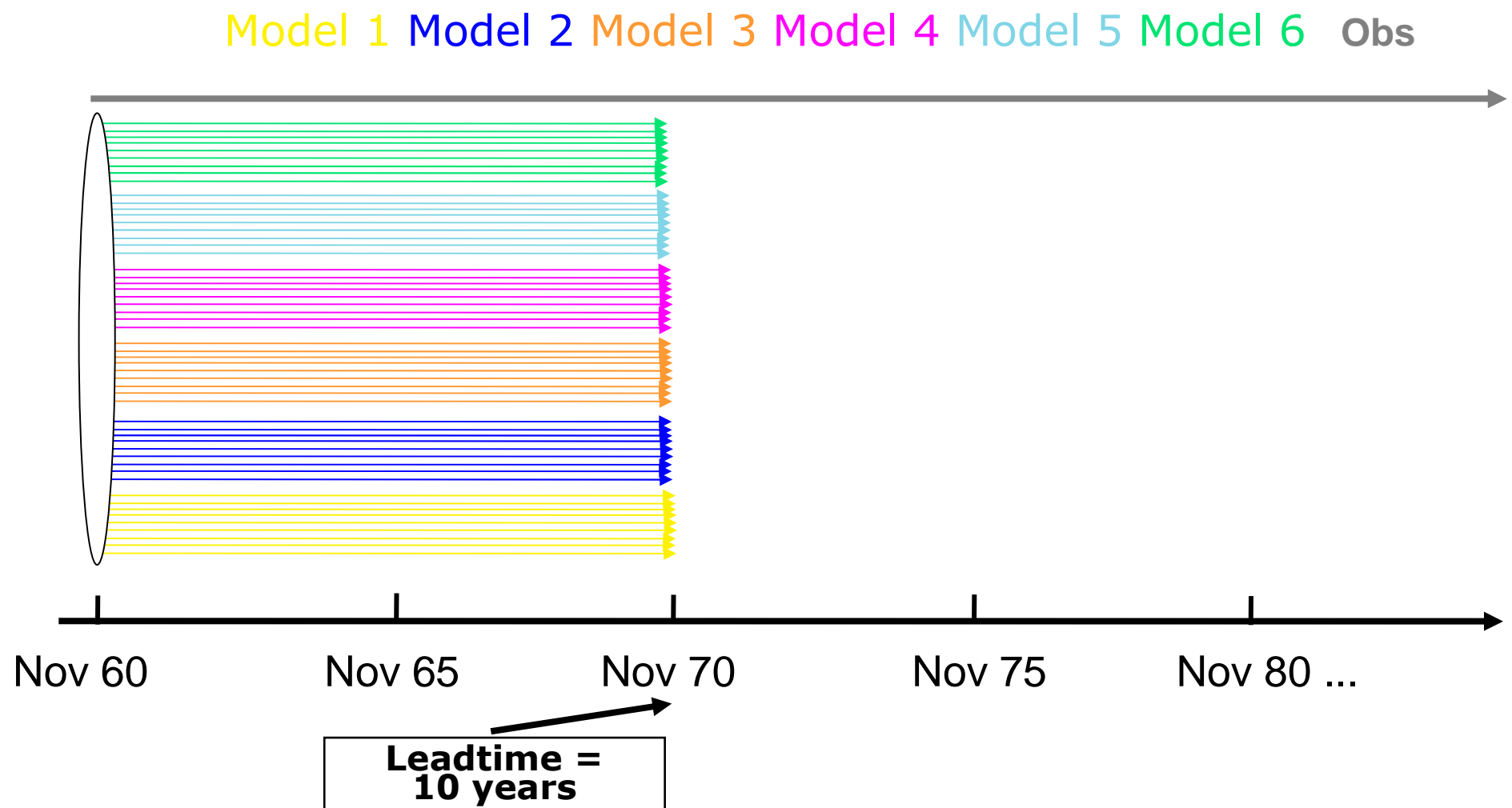


Fig. 2 of Meehl et al. (2009, BAMS)

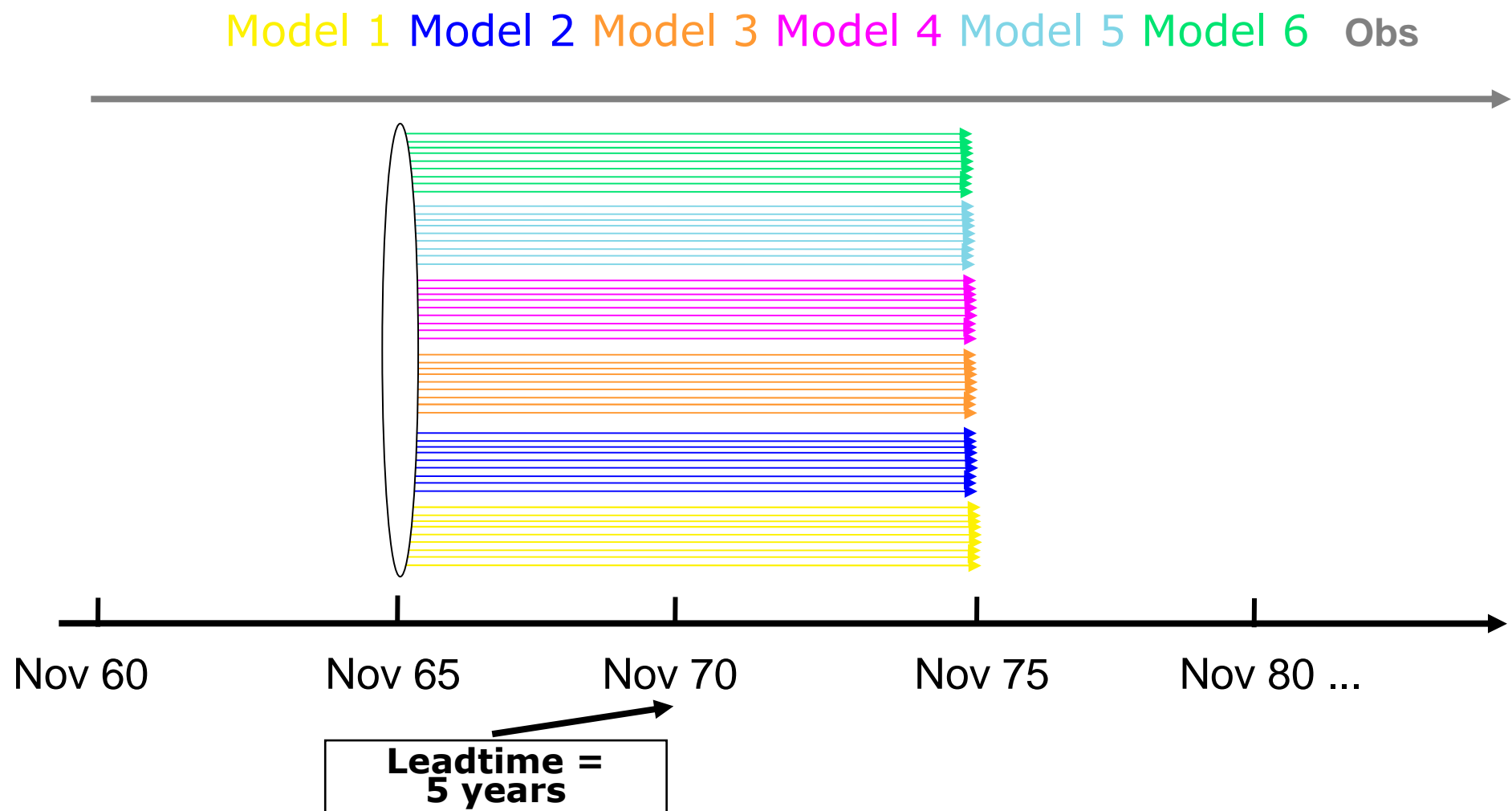
L'exercice de prévision climatique

Multi-model ensemble system with coupled initialized GCMs



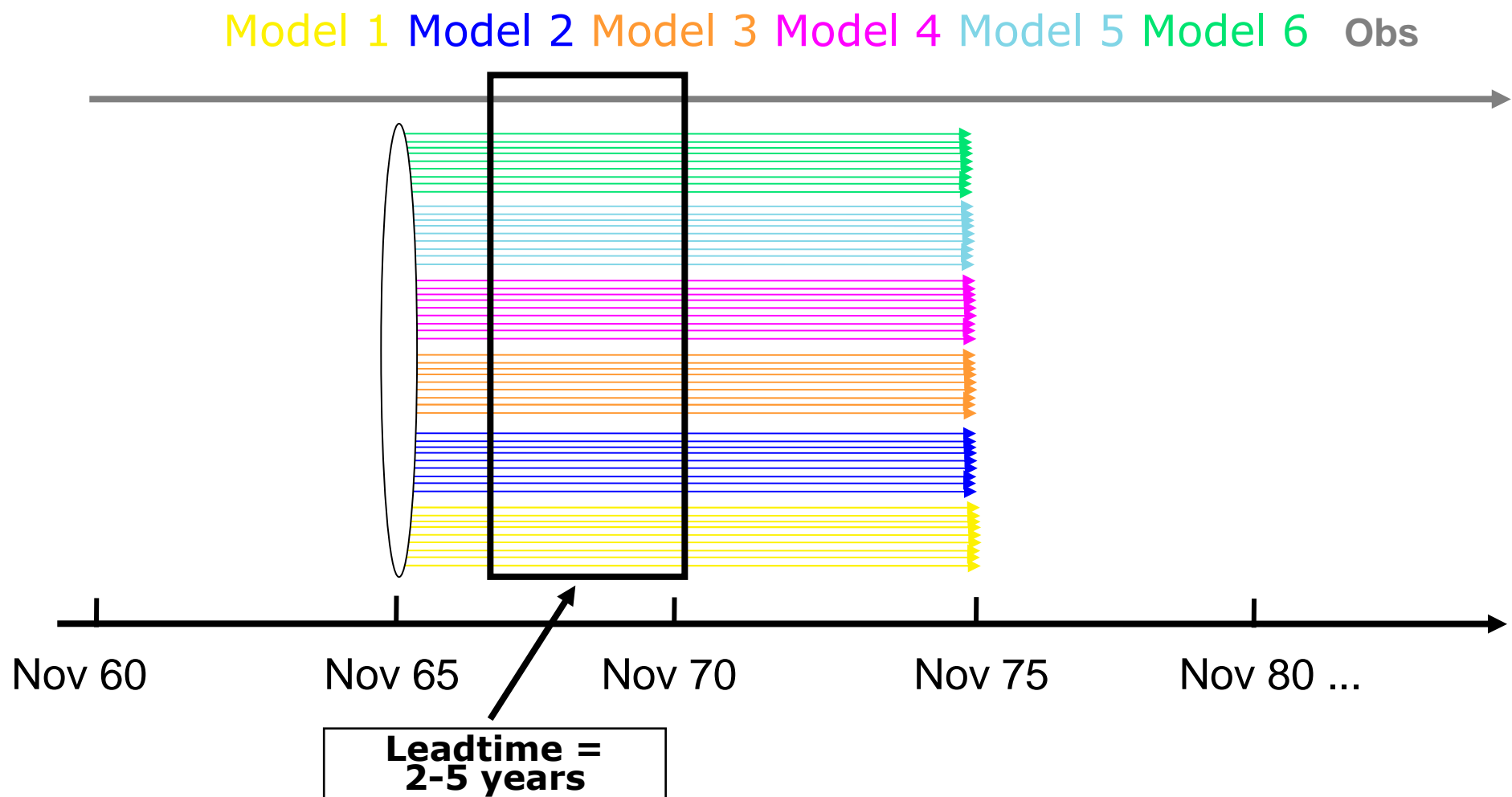
L'exercice de prévision climatique

Multi-model ensemble system with coupled initialized GCMs



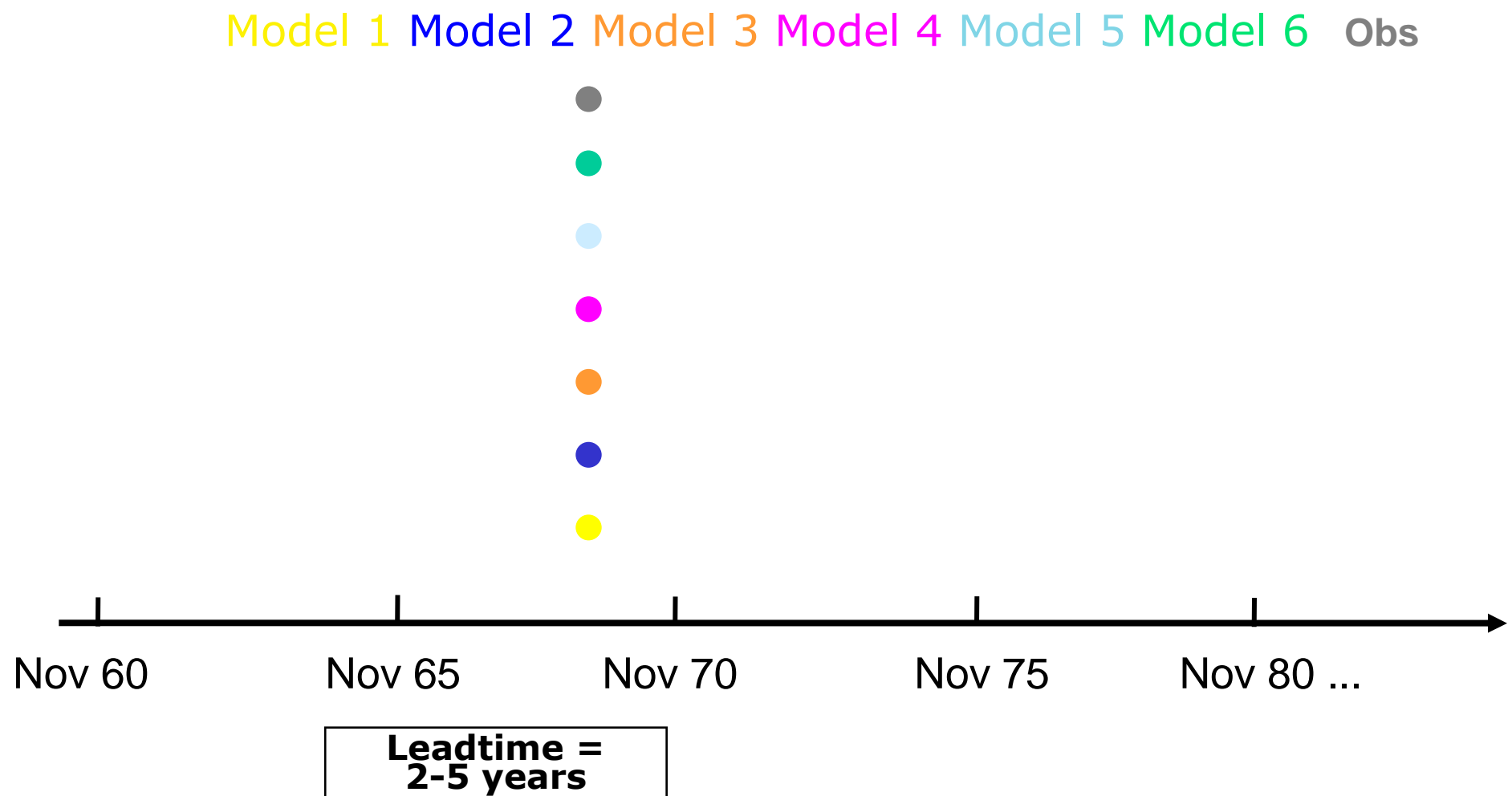
L'exercice de prévision climatique

Multi-model ensemble system with coupled initialized GCMs



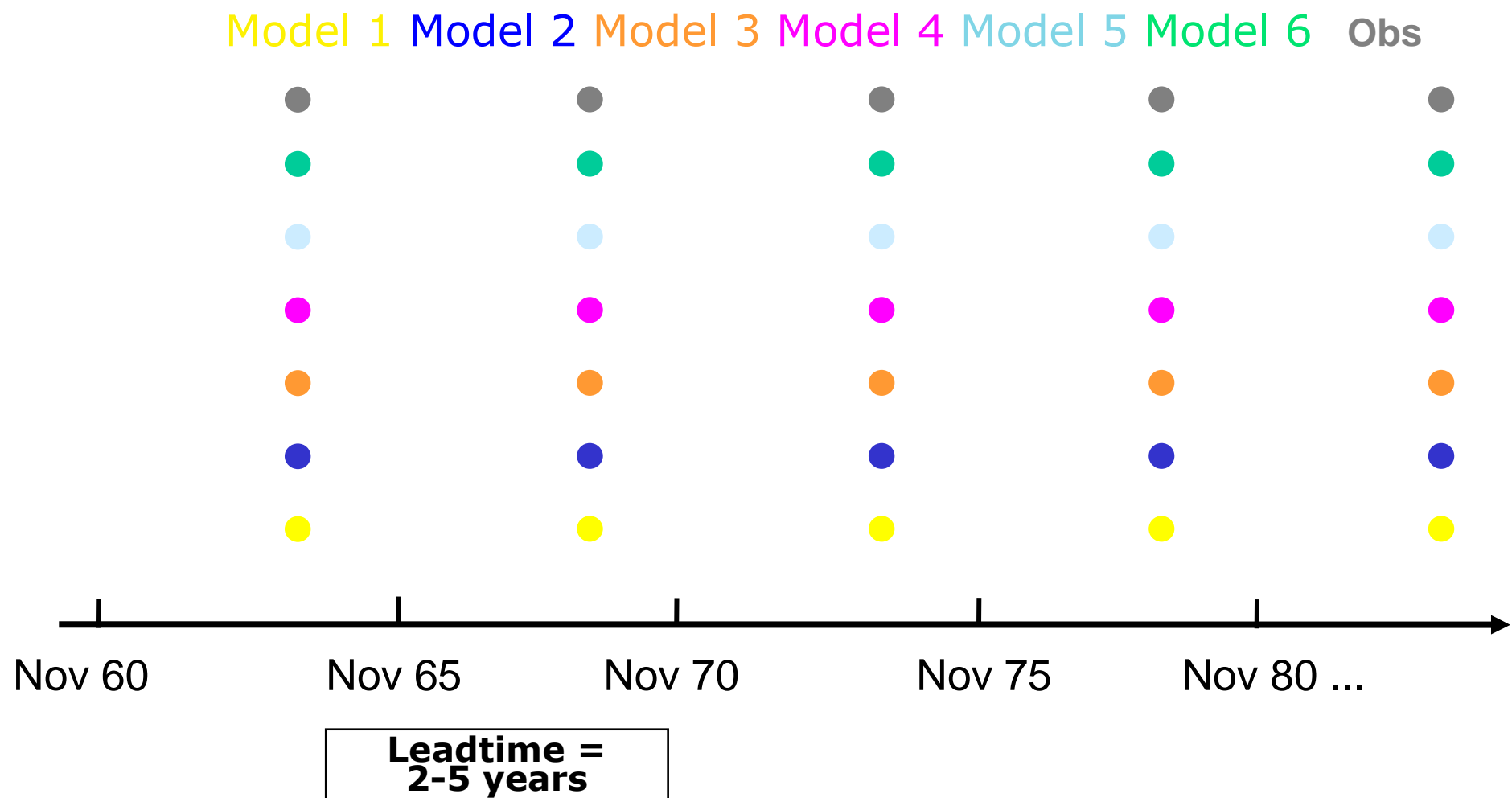
L'exercice de prévision climatique

Multi-model ensemble system with coupled initialized GCMs



L'exercice de prévision climatique

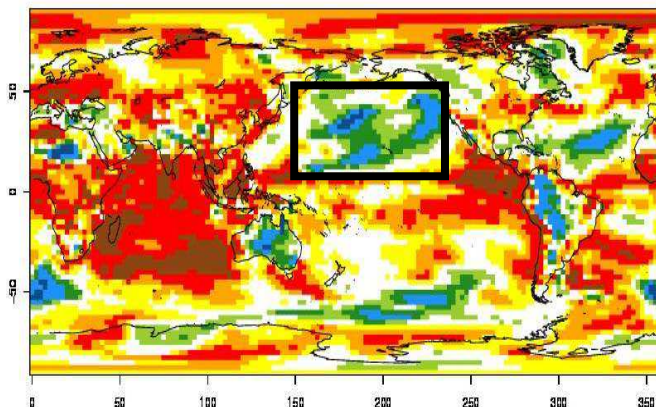
Multi-model ensemble system with coupled initialized GCMs



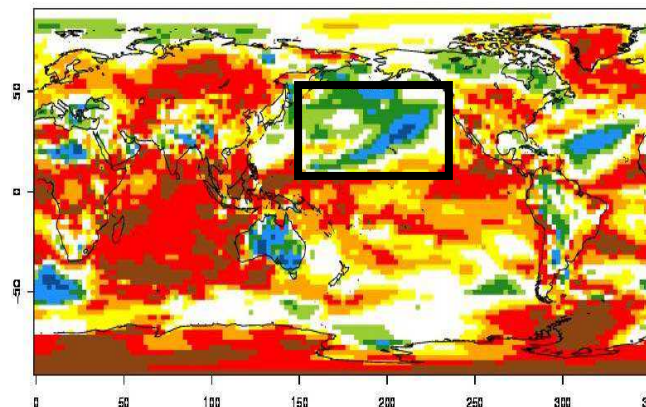
Scores de température atmosphérique à 2m

Correlation modelled and ERA40 T2M. Leadtimes : 2-5 years

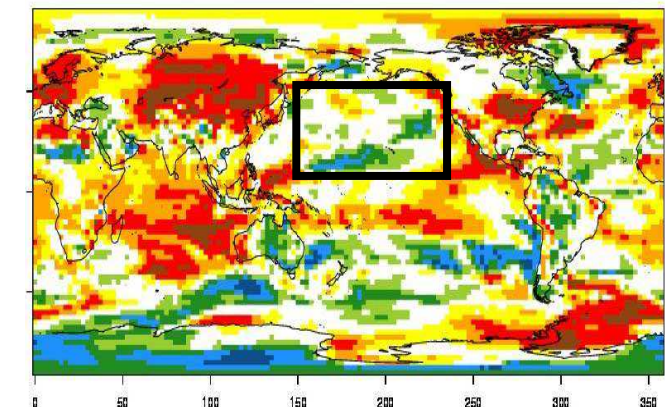
CNRM-CM3



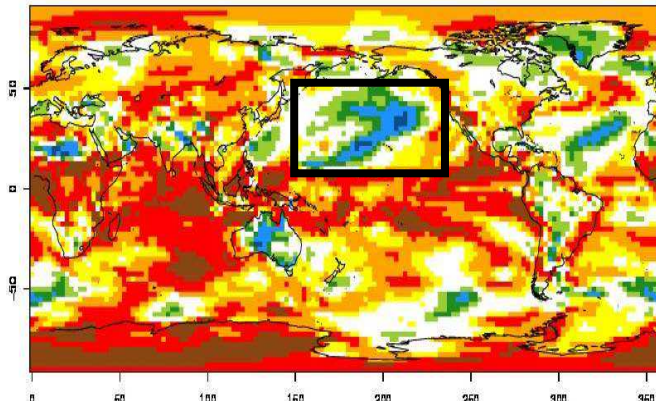
UKMO



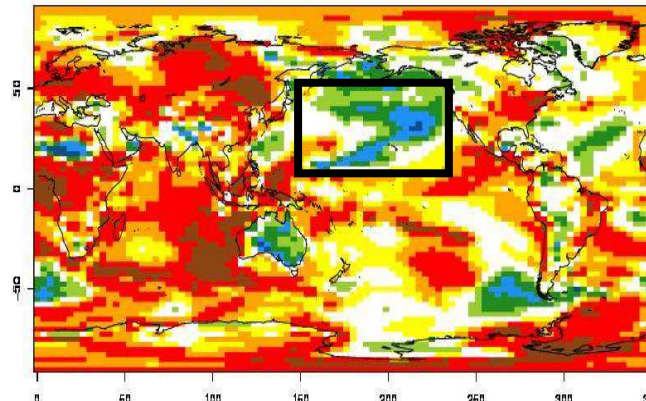
IFM-GEOMAR



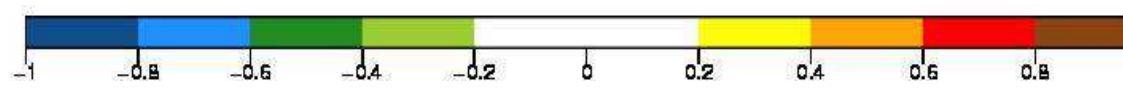
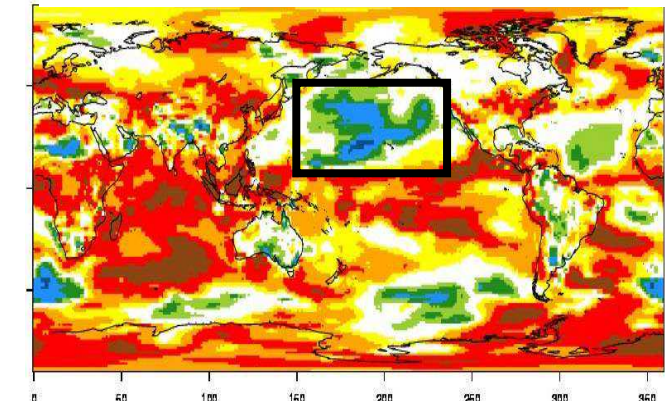
ECMWF



DePreSys



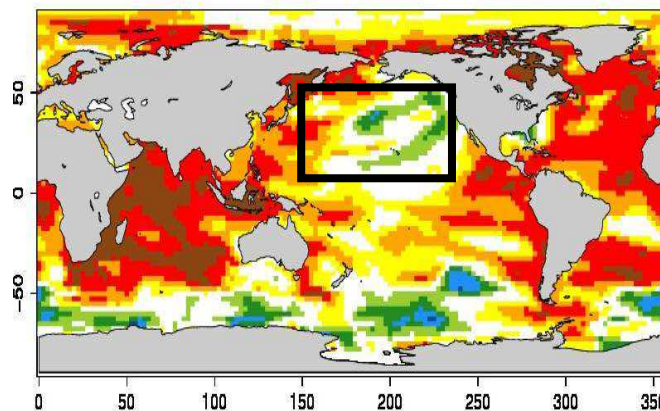
EC-Earth



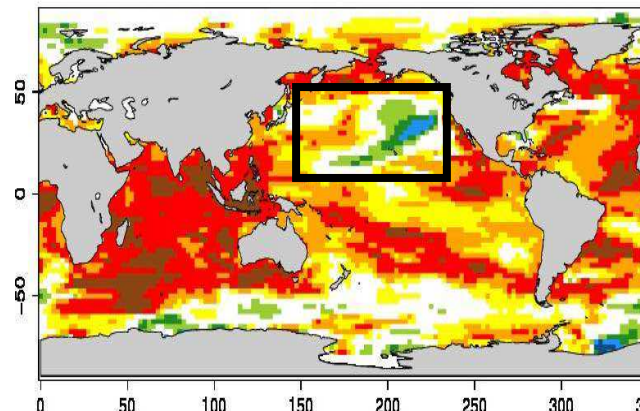
Scores de température océanique de surface

Correlation modelled and ERSST SST. Leadtimes : 2-5 years

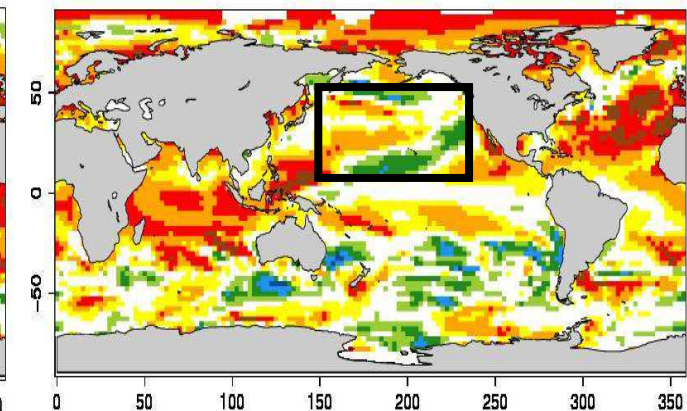
CNRM-CM3



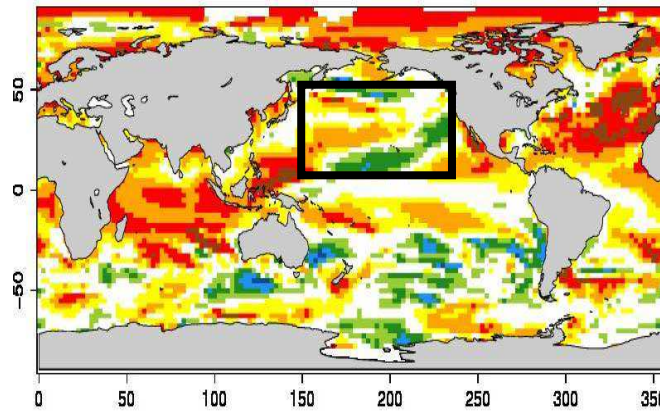
UKMO



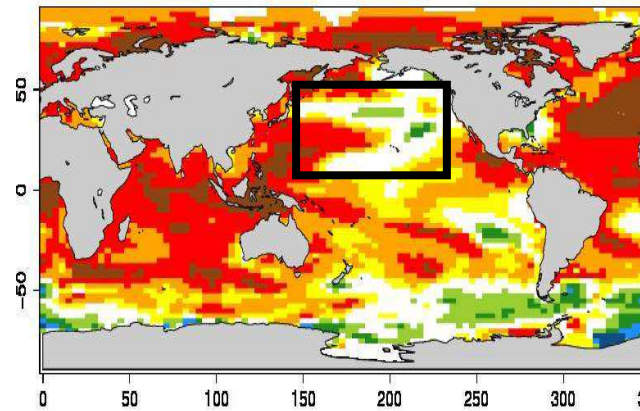
IFM-GEOMAR



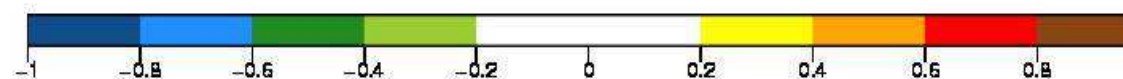
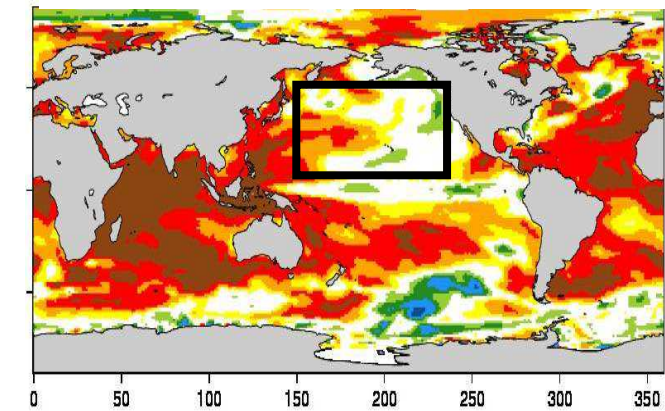
ECMWF



DePreSys

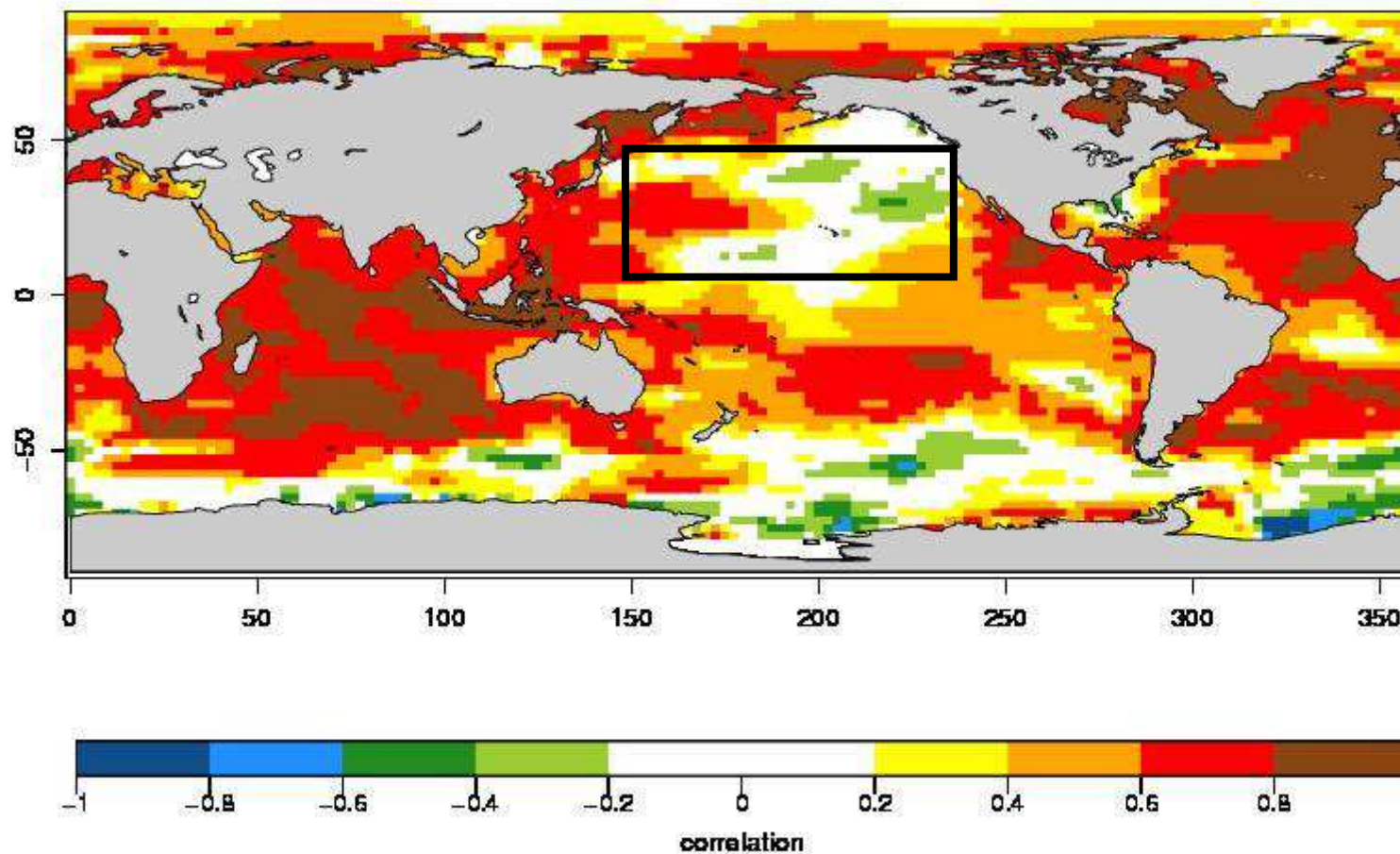


EC-Earth



Scores de température océanique de surface

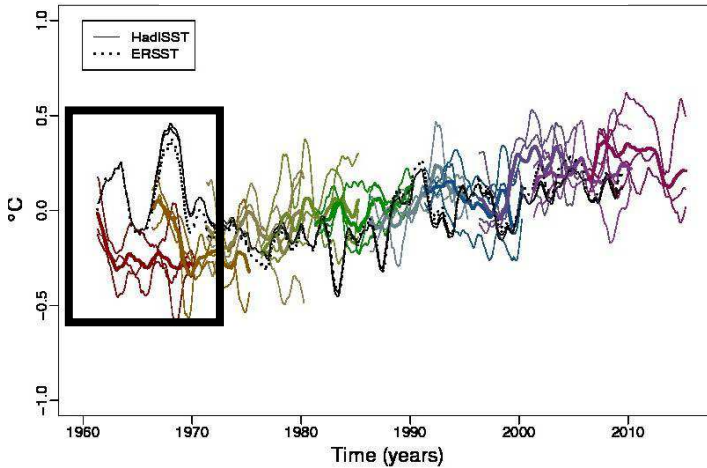
Correlation between multi-model ensemble-mean and ERSST SST



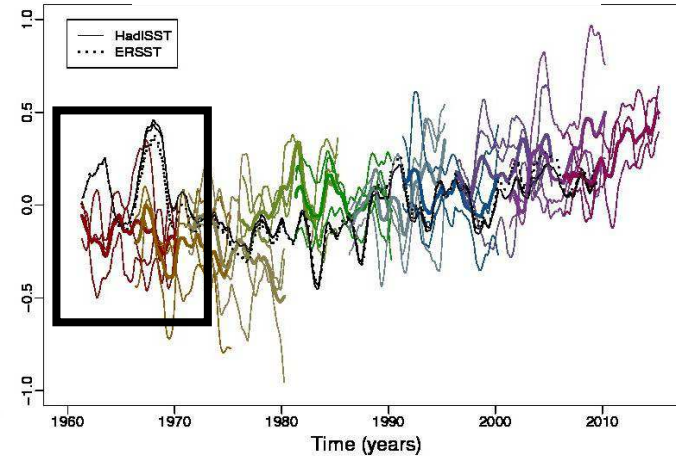
Quels évènements majeurs manqués?

Sea Surface Temperature anomalies (155°E-235°E, 10°N- 45°N)

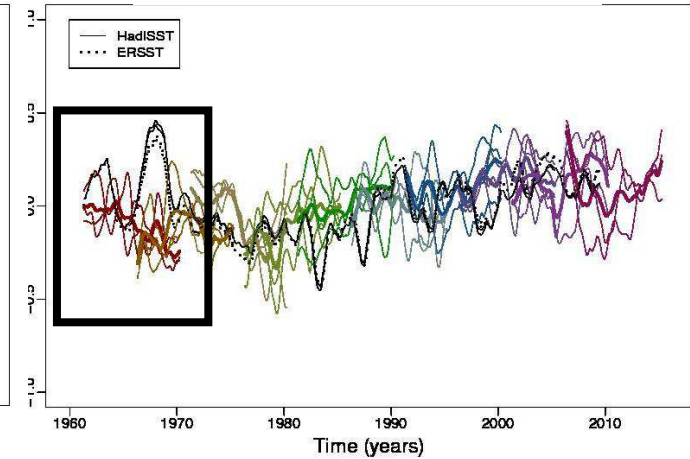
CNRM-CM3



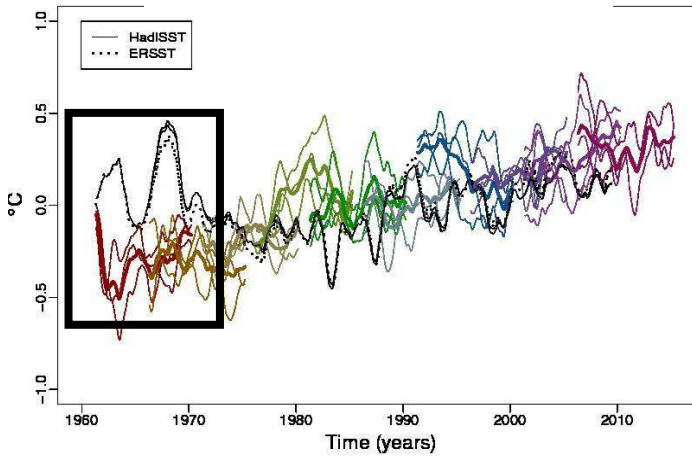
UKMO



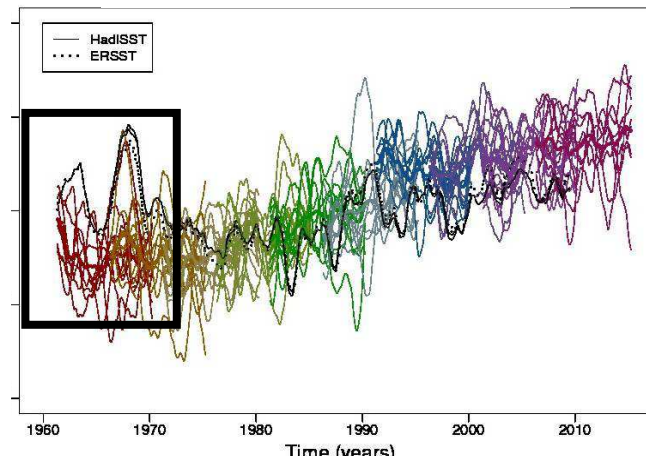
IFM-GEOMAR



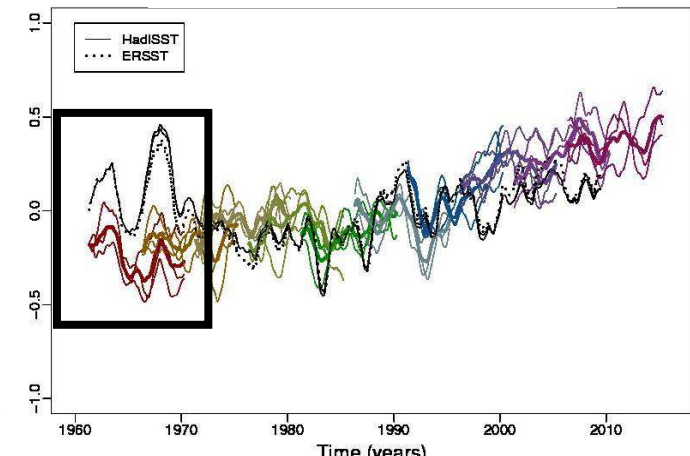
ECMWF



DePreSys



EC-Earth



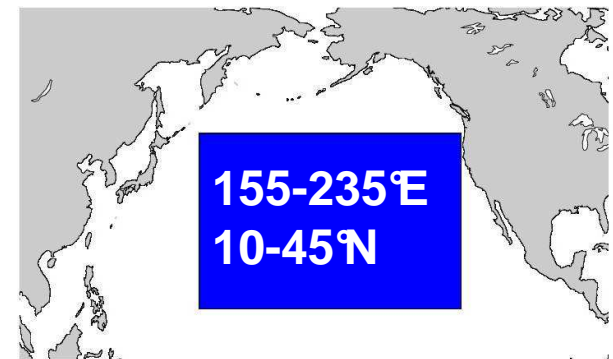
Plan

- ✖ Liens avec des modes de variabilité connus ?
- ✖ Mécanisme expliquant l'évènement de 1963
- ✖ Mécanisme expliquant l'évènement de 1968
- ✖ Cause possible de l'échec des systèmes de prévision

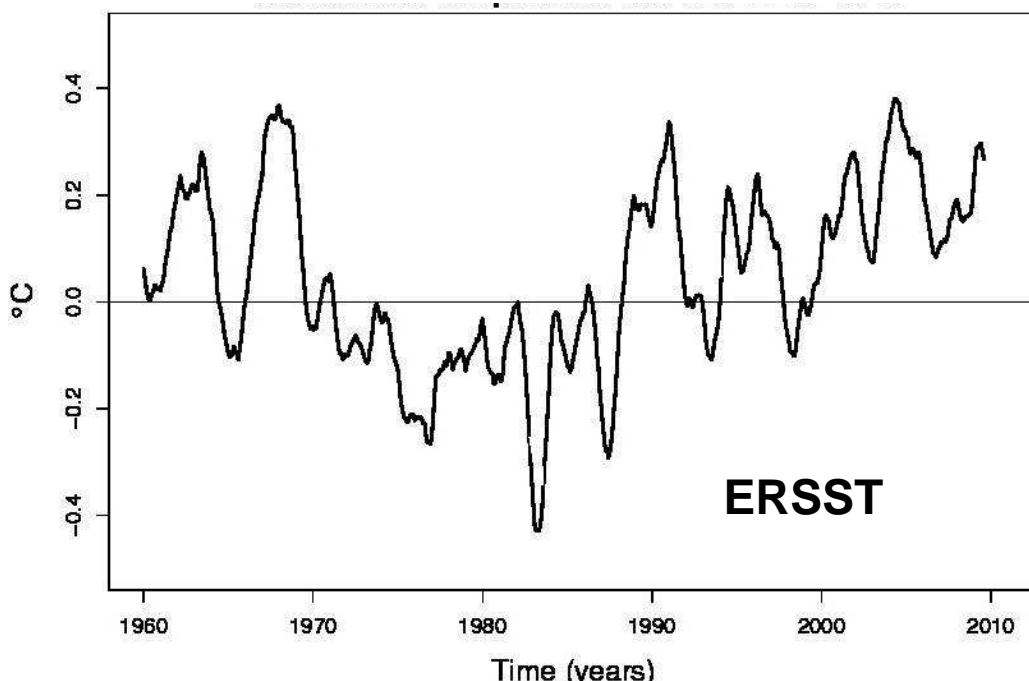
Plan

- ✖ Liens avec des modes de variabilité connus ?
- ✖ Mécanisme expliquant l'évènement de 1963
- ✖ Mécanisme expliquant l'évènement de 1968
- ✖ Cause possible de l'échec des systèmes de prévision

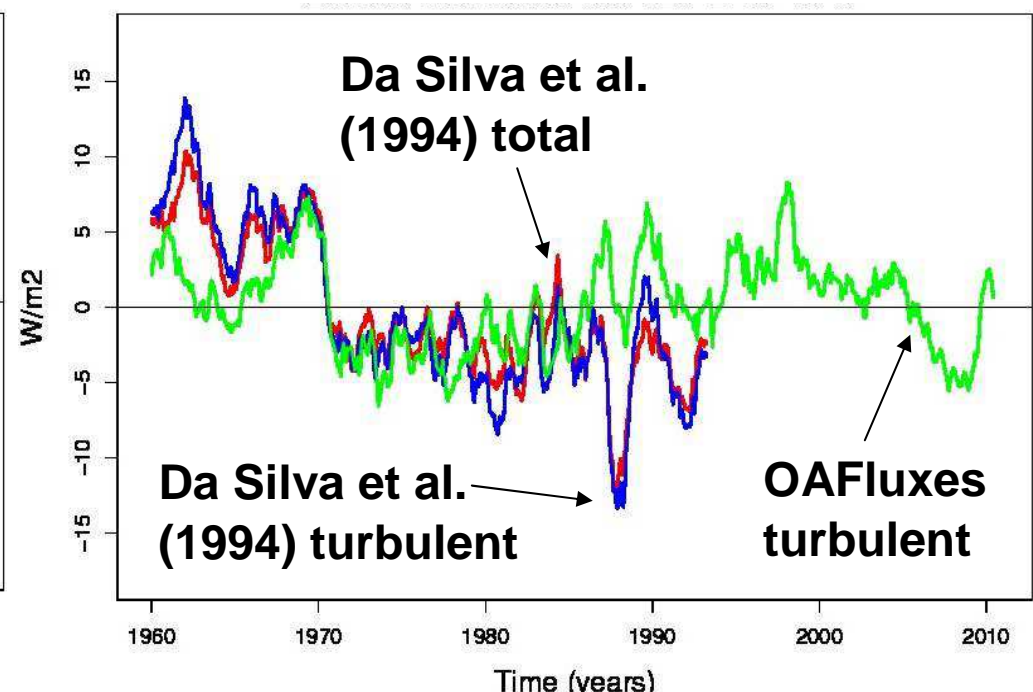
Two major warmings in the North Pacific Ocean in 1963 and 1968



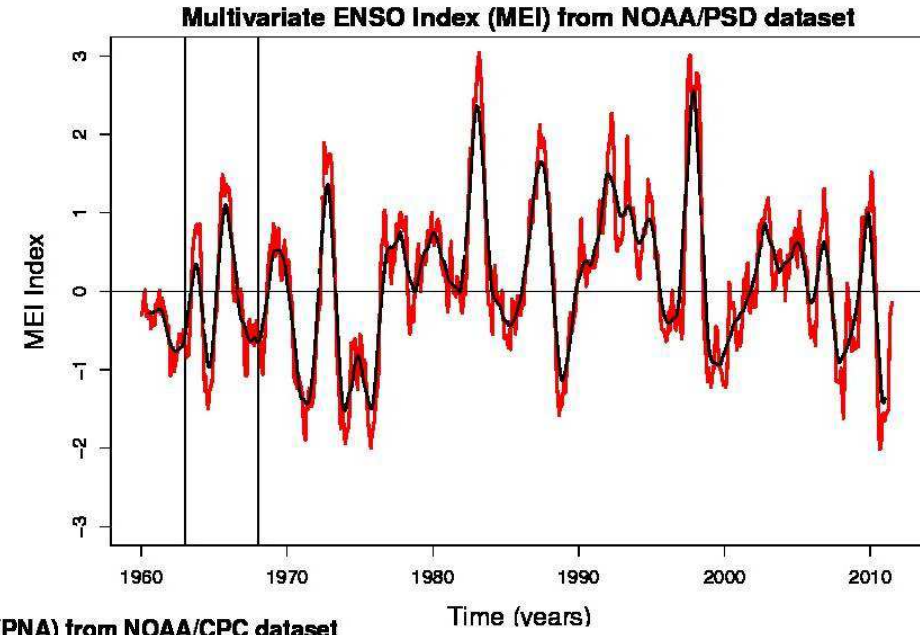
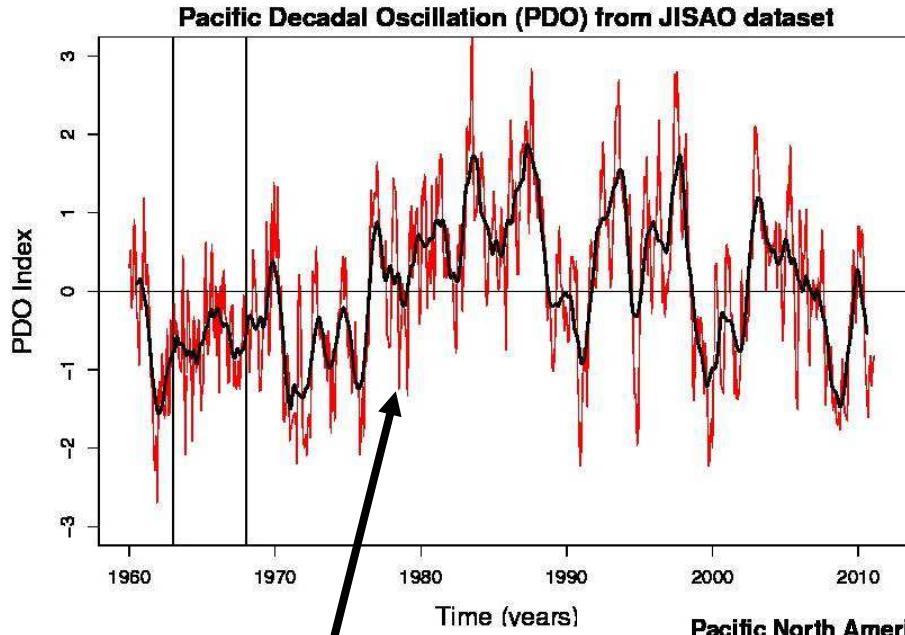
Sea Surface Temperature
(155-235°E 10-45°N)



Upward surface heat fluxes
(155-235°E 10-45°N)

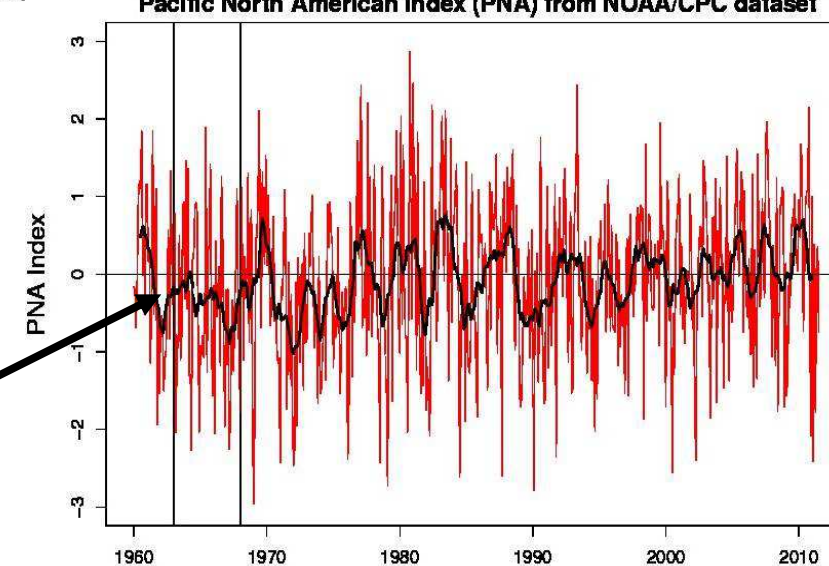


No links with the main modes of variability



Monthly
values

12-month
running mean

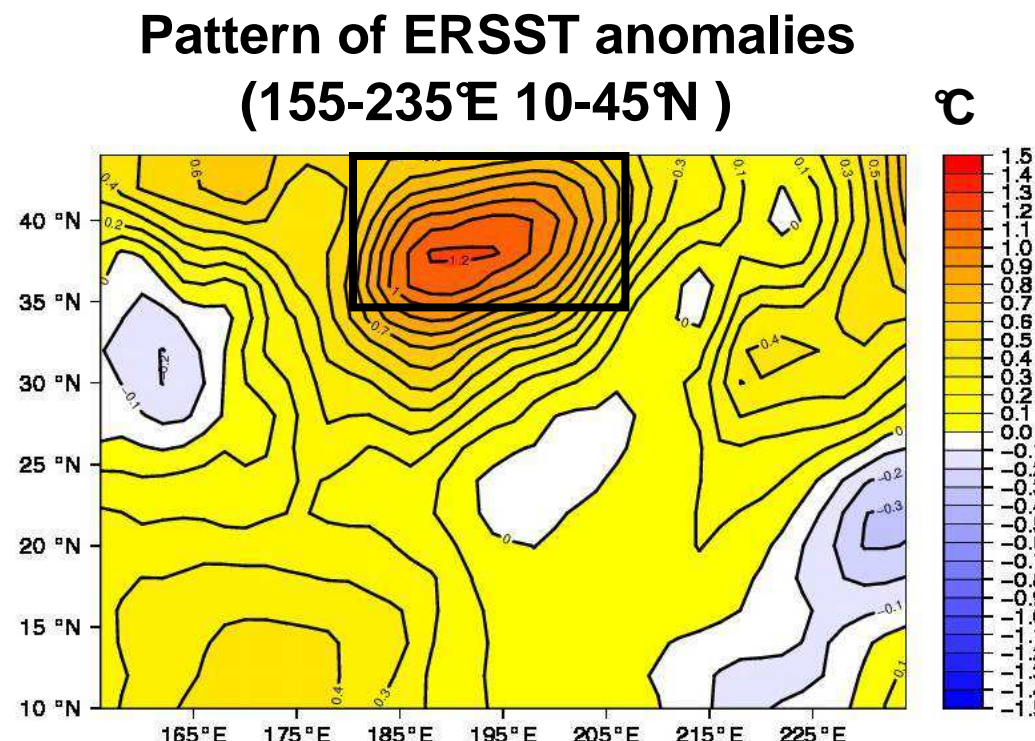


[http://www.esrl.noaa.
gov/psd/data/climatei
ndices/](http://www.esrl.noaa.gov/psd/data/climateindices/)

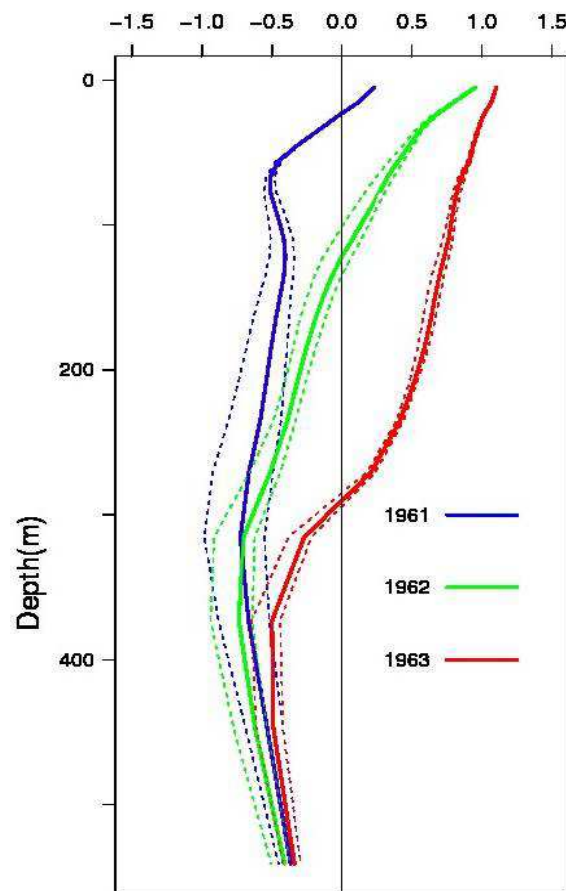
Plan

- ✖ Liens avec des modes de variabilité connus ?
- ✖ Mécanisme expliquant l'évènement de 1963
- ✖ Mécanisme expliquant l'évènement de 1968
- ✖ Cause possible de l'échec des systèmes de prévision

1963: 3-dimensional structure of the anomaly

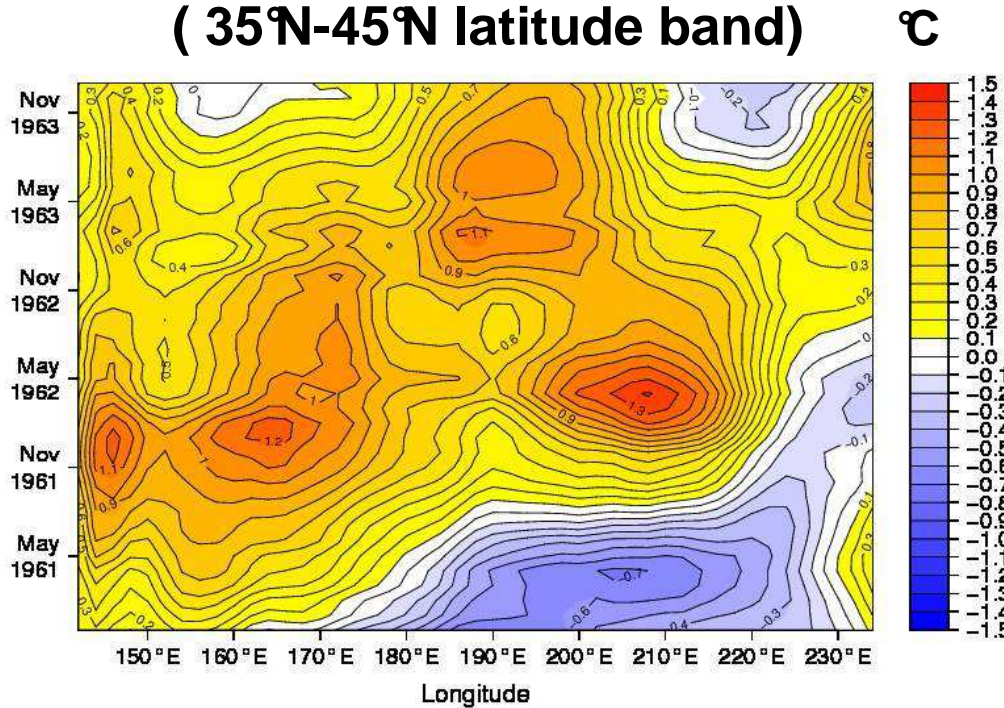


NEMOVAR temperature anomaly profile (180-205°E – 35-45°N)

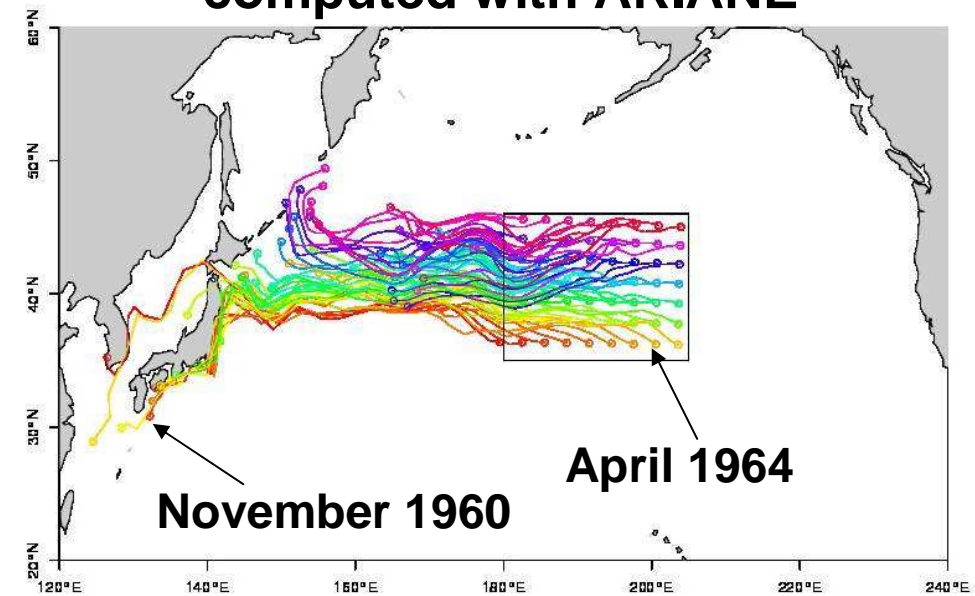


1963: advection of the anomaly

Hoevmuller ERSST anomalies
(35°N-45°N latitude band)



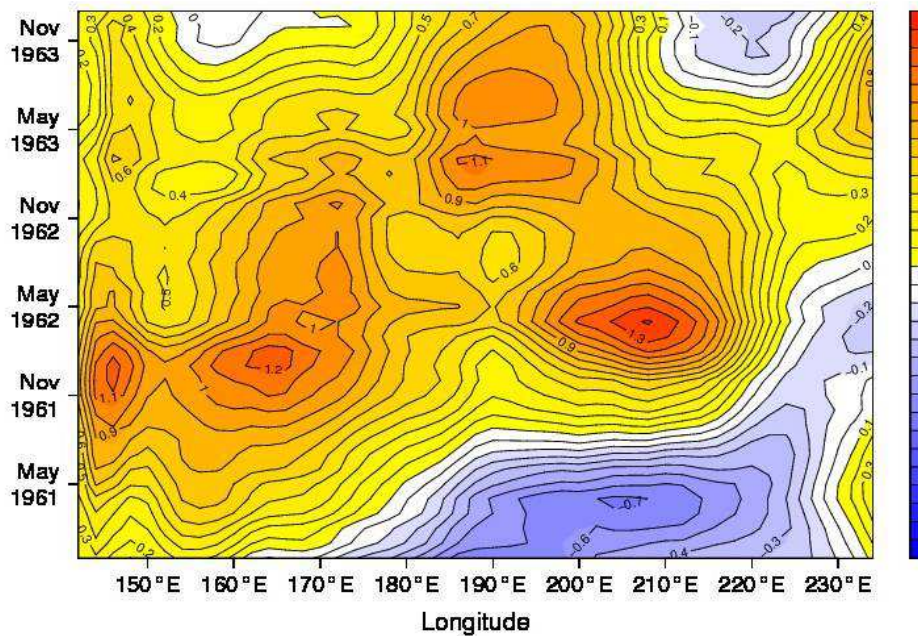
NEMOVAR backward trajectories
computed with ARIANE



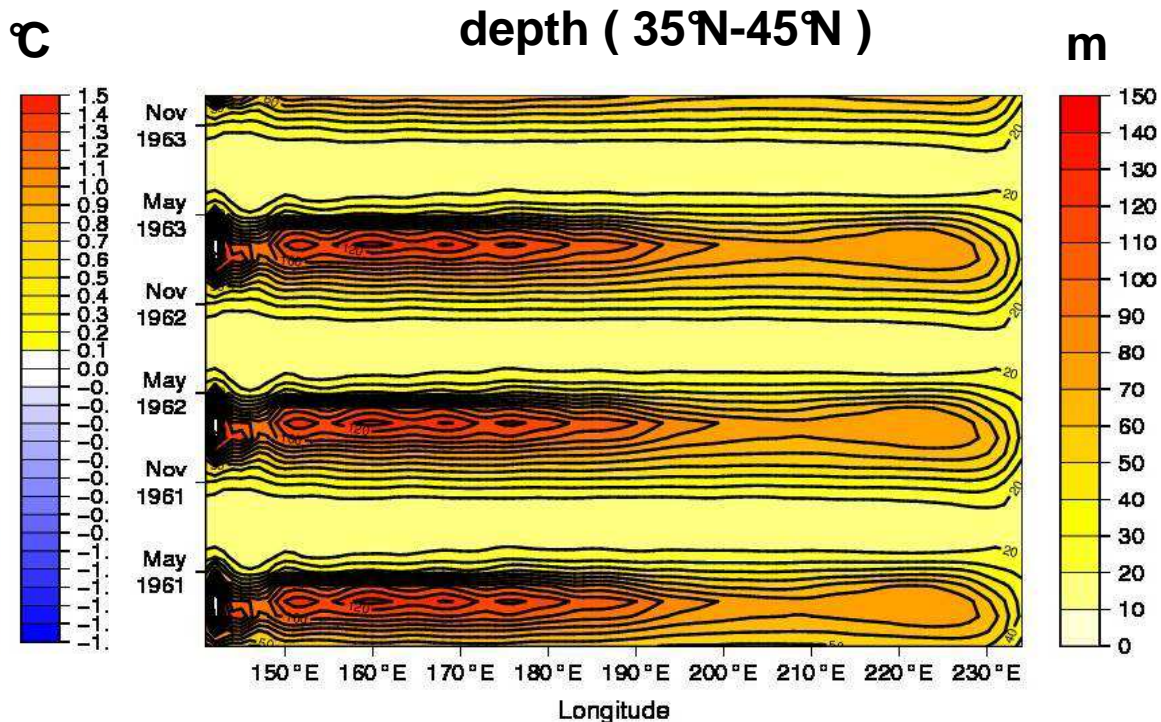
ARIANE
(<http://stockage.univ-brest.fr/~grima/Ariane/>)

1963: modulation of the amplitude by mixing

Hoevmuller ERSST anomalies
(35°N-45°N latitude band)



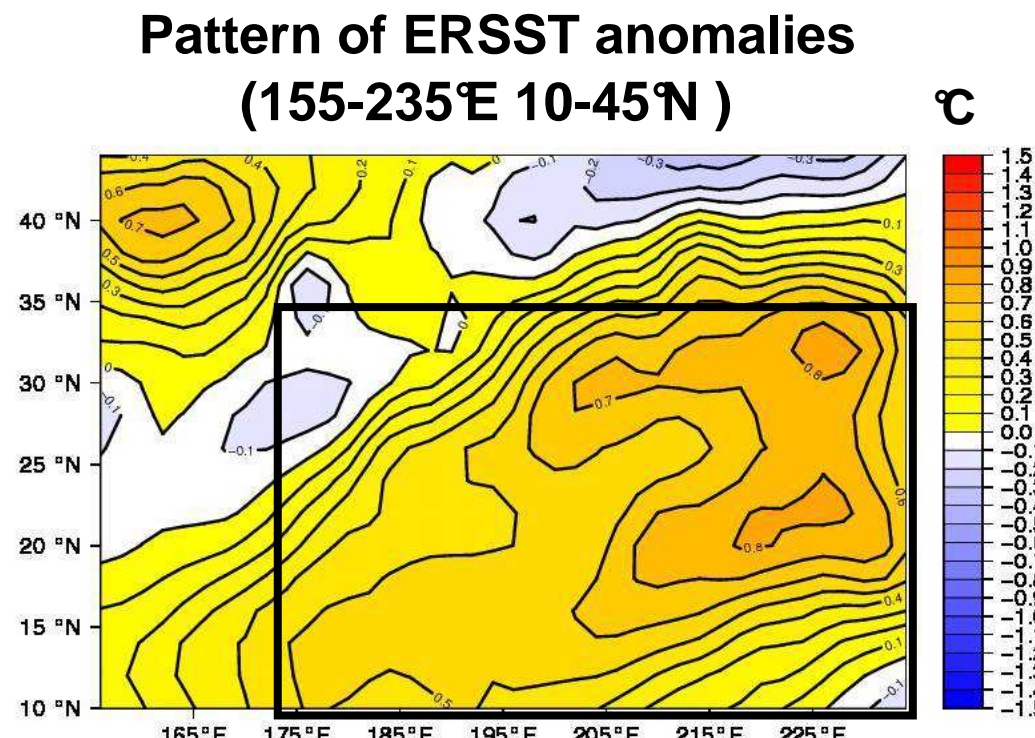
NEMOVAR climatological mixed layer depth (35°N-45°N)



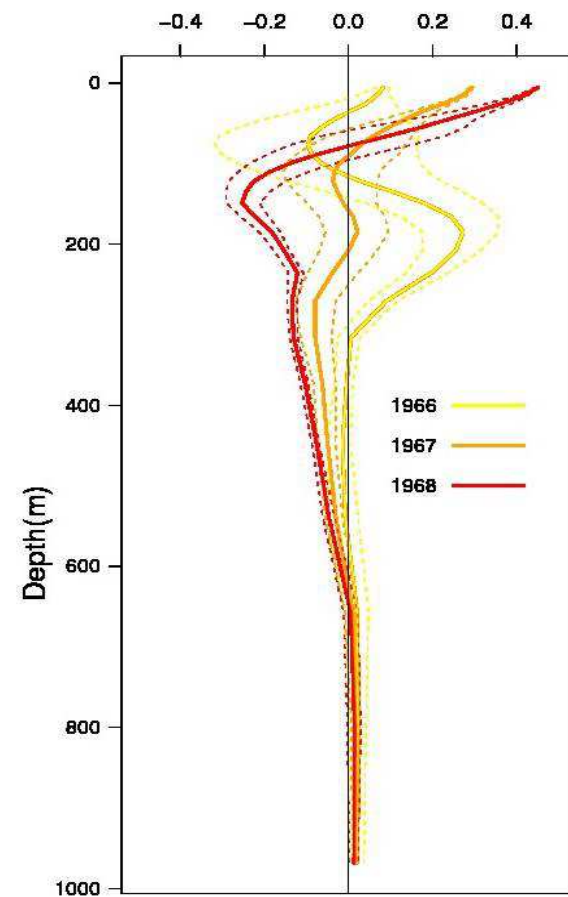
Plan

- ✖ Liens avec des modes de variabilité connus ?
- ✖ Mécanisme expliquant l'évènement de 1963
- ✖ Mécanisme expliquant l'évènement de 1968
- ✖ Cause possible de l'échec des systèmes de prévision

1968: 3-dimensional structure of the anomaly

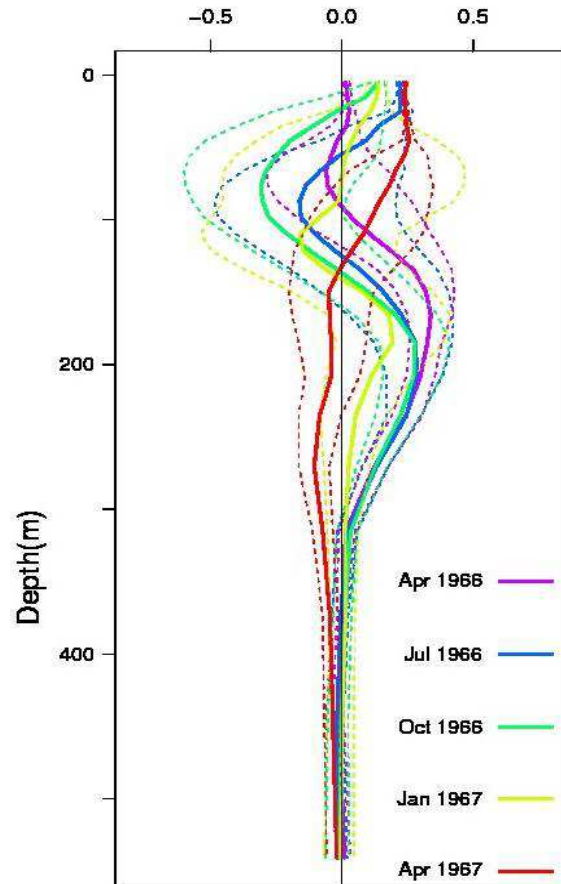


NEMOVAR temperature anomaly profile (170-235°E – 10-45°N)

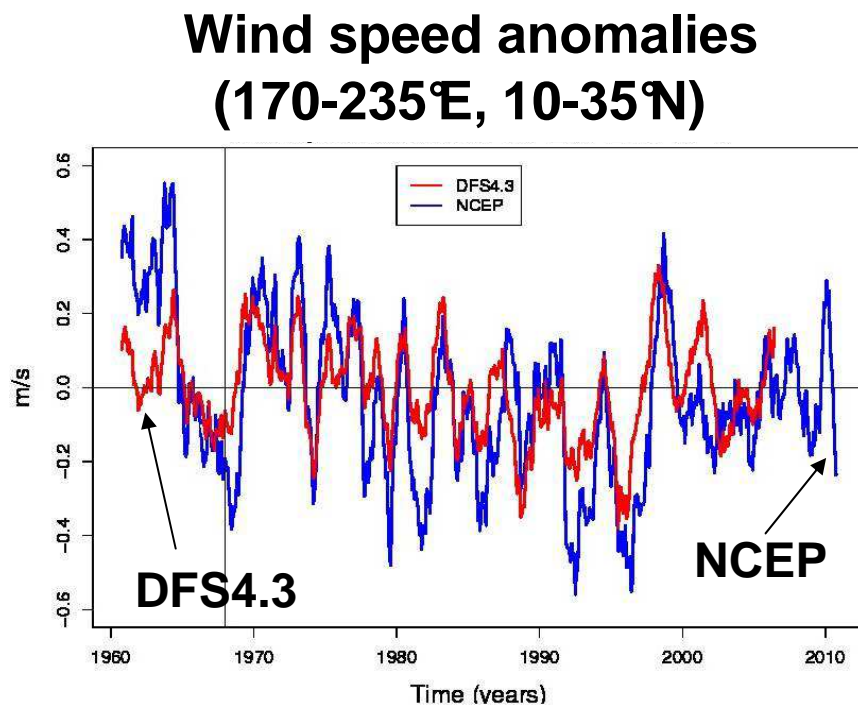


1968: upward transfer of the anomaly

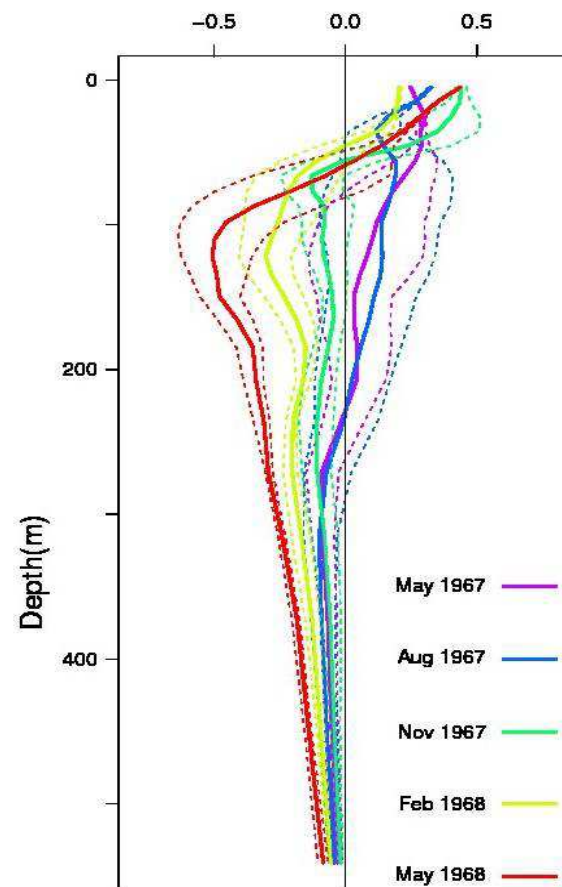
NEMOVAR temperature anomaly
profile (170-235°E – 10-45°N)



1968: amplification by the atmosphere forcing



NEMOVAR temperature anomaly profile (170-235°E – 10-45°N)



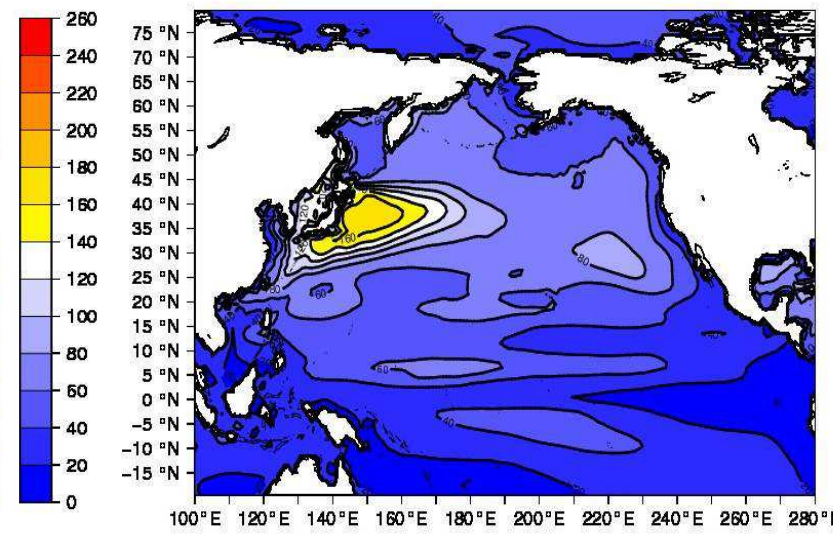
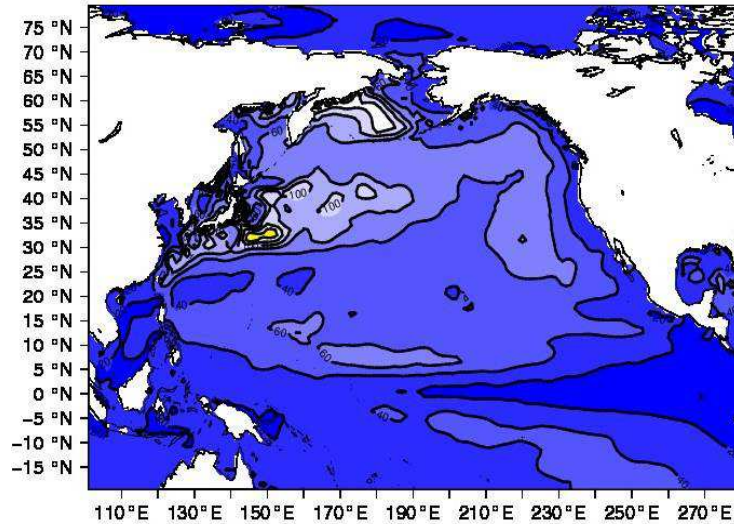
Plan

- ✖ Liens avec des modes de variabilité connus ?
- ✖ Mécanisme expliquant l'évènement de 1963
- ✖ Mécanisme expliquant l'évènement de 1968
- ✖ Cause possible de l'échec des systèmes de prévision

Stratification de l'océan Pacifique

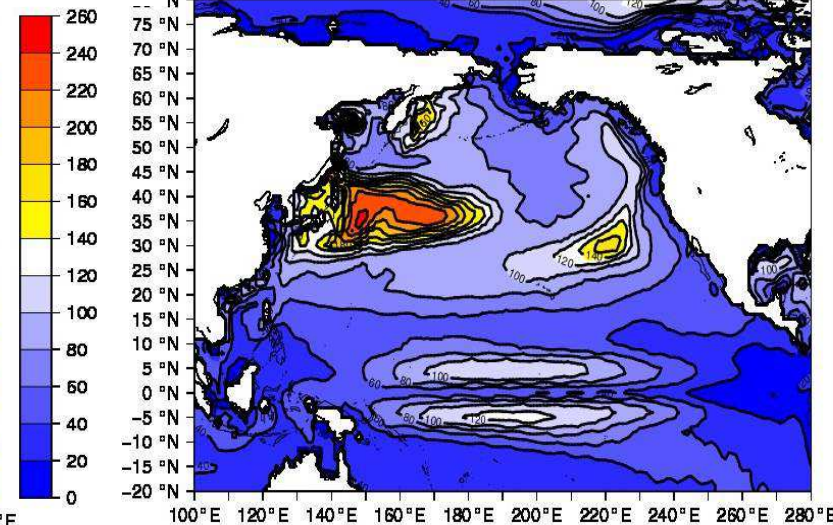
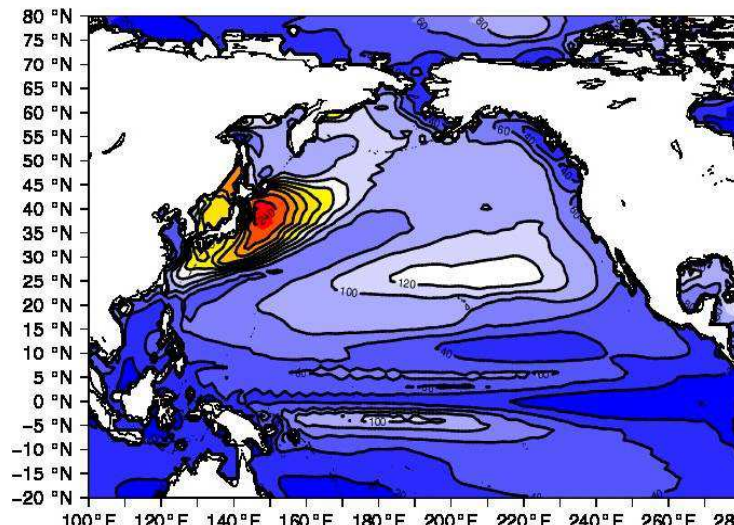
Profondeur de couche de mélange (critère densité) en m

NEMOVAR-COMBINE



EC-EARTH v2

CNRM-CM3



IFM-GEOMAR

Conclusion

- ✿ **Région Nord Pacifique = Région de plus faible scores dans les prévisions climatiques à court terme (2- 5 ans)**
- ✿ **Evènements majeurs autour de 1963 et 1968 manqués par tous les systèmes**
- ✿ **1963 : anomalie de chaleur advectée Kuroshio-Oyashio et confinée dans une couche de mélange de + en + fine**
- ✿ **1968 : anomalie upwellée puis amplifiée par le bruit atmosphérique**
- ✿ **Stratification de l'océan Pacifique mal représentée par les différents modèles de climat probablement en cause**